

# Модели нелинейного мира

[www.biophys.msu.ru](http://www.biophys.msu.ru)

Лекция 8

**Галина Юрьевна Ризниченко**

Каф. биофизики Биологического ф-та Московского  
государственного университета им.  
М.В.Ломоносова, к.119

тел: +7(095)9390289; факс: (095)9391115;  
E-mail: [riznich@biophys.msu.ru](mailto:riznich@biophys.msu.ru)

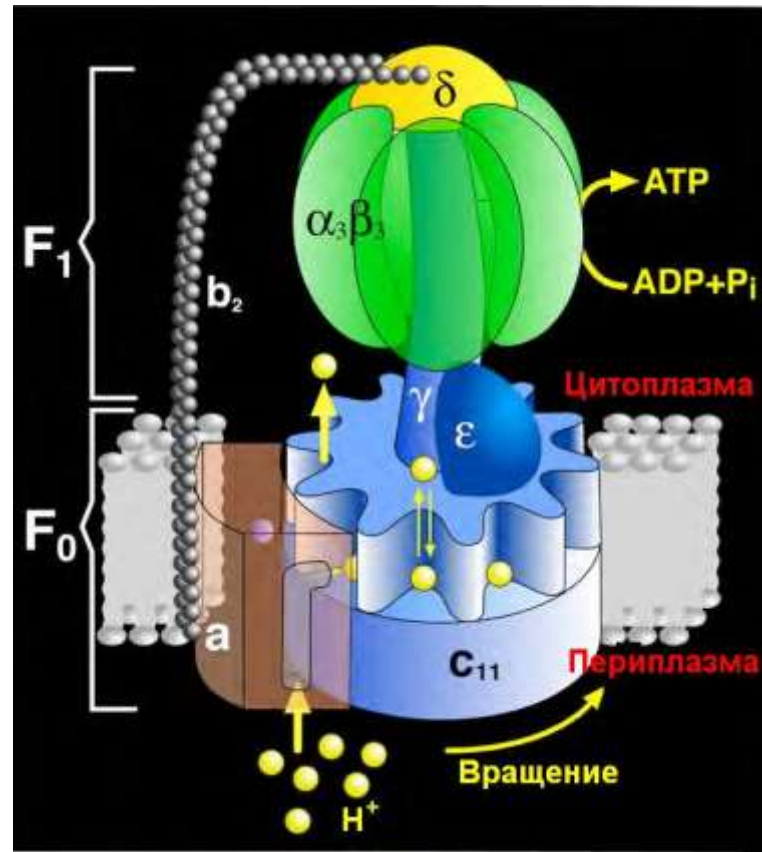
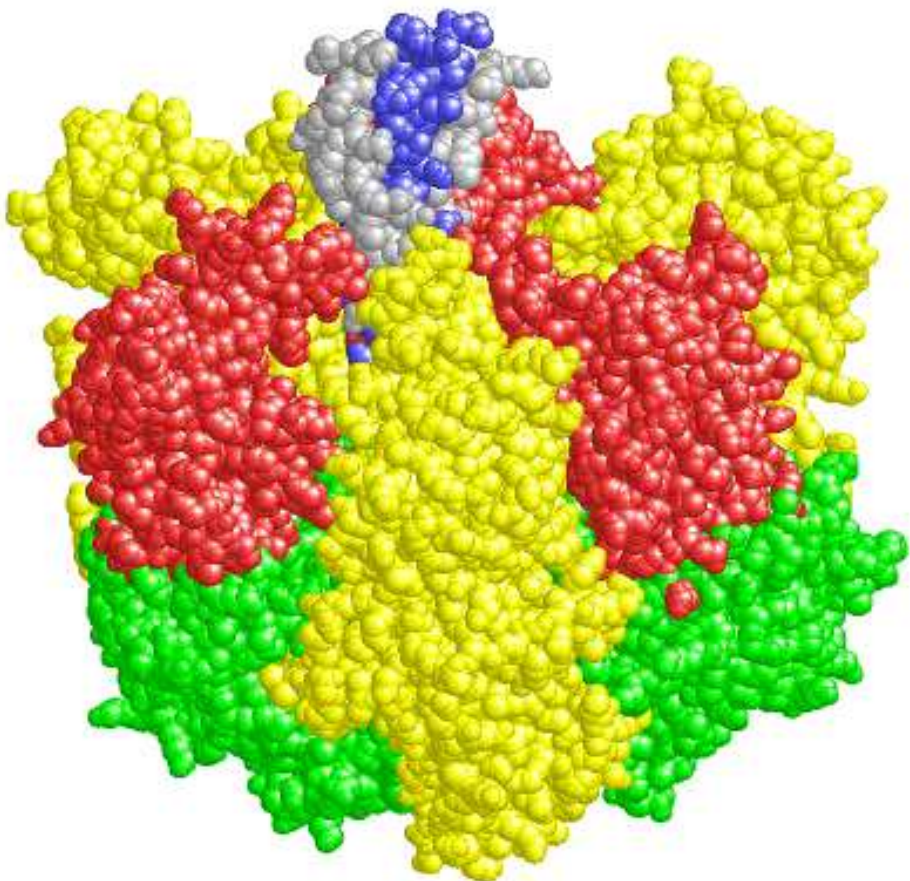


[mathbio.ru](http://mathbio.ru)

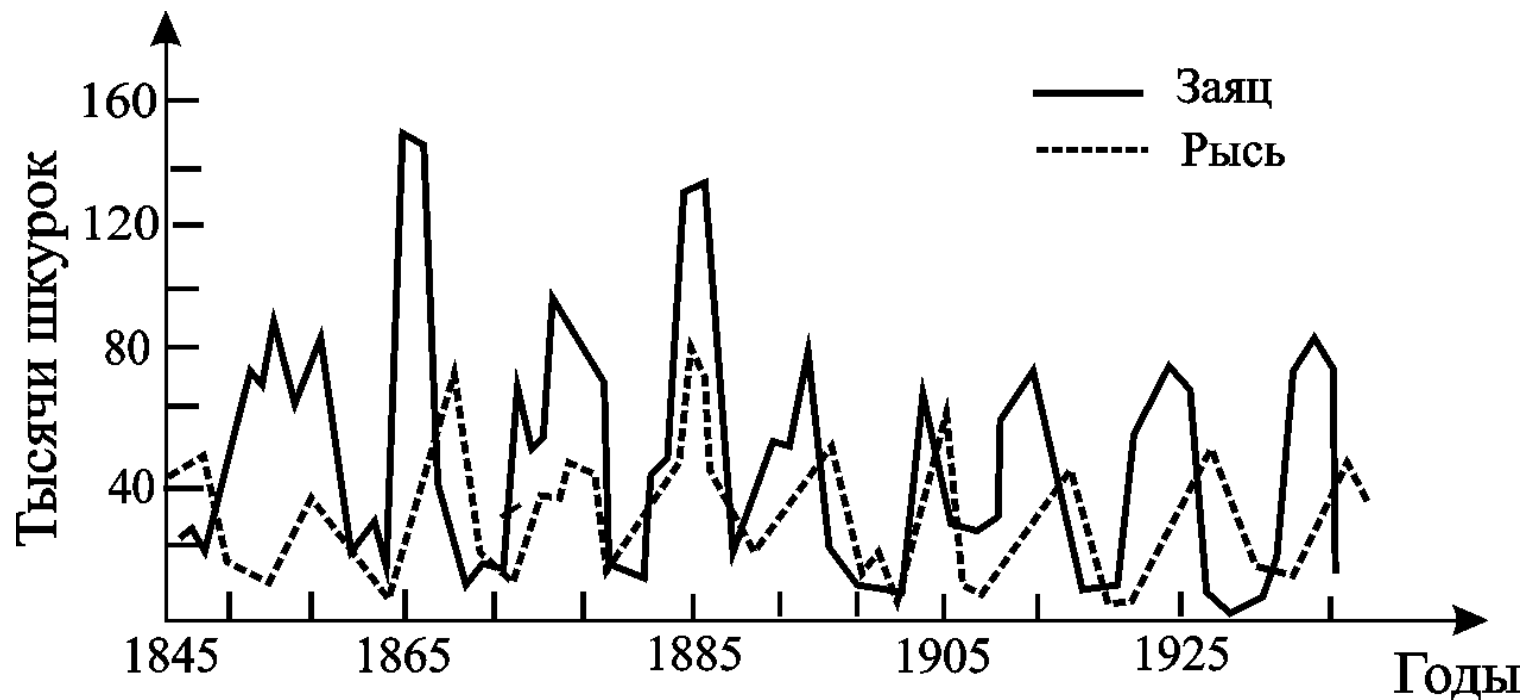
Г.Ю.Ризниченко

# Колебательные процессы в биологии

# Работа АТФ-азы



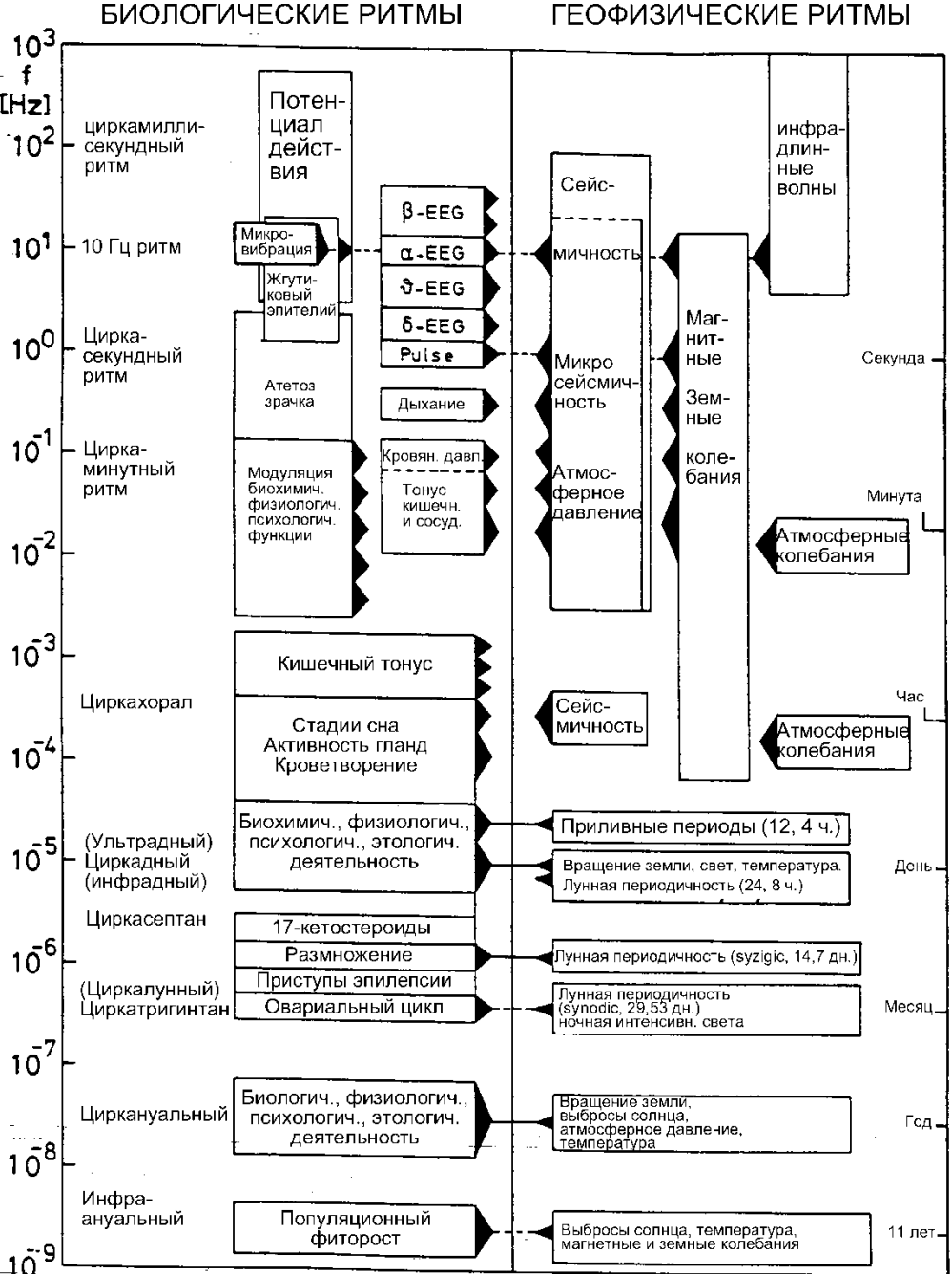
# До популяций и сообществ



Кривые численности зайца и рыси в Канаде (по К. Вилли, В. Детье, 1974)

# Биологические и геофизические ритмы

В организме  
человека  
более 300  
суточных  
ритмов



# Как возникают колебания?

- Какими свойствами должна обладать система, чтобы в ней могли возникнуть колебания?

# Обратная связь

- **Обратная связь** — это процесс, приводящий к тому, что результат функционирования какой-либо системы влияет на параметры, от которых зависит функционирование этой системы.
- Другими словами, на вход системы подаётся сигнал, пропорциональный её выходному сигналу (или, в общем случае, являющейся функцией этого сигнала)
- Различают положительную и отрицательную обратную связь. Отрицательная обратная связь изменяет входной сигнал таким образом, чтобы противодействовать изменению выходного сигнала. Это делает систему более устойчивой к случайному изменению параметров.
- Положительная обратная связь, наоборот, усиливает изменение выходного сигнала. Системы с сильной положительной обратной связью проявляют тенденцию к неустойчивости, в них могут возникать незатухающие колебания,

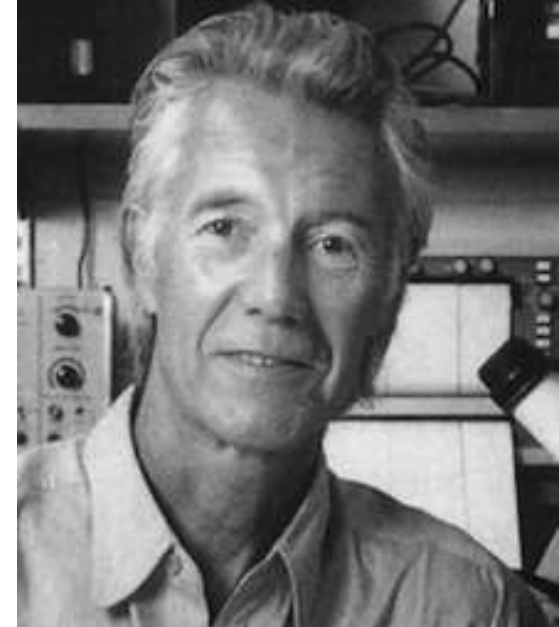
# Схема Гудвина

$$\frac{dx}{dt} = \frac{k_1}{k_1 + z^n} - k_2 x$$

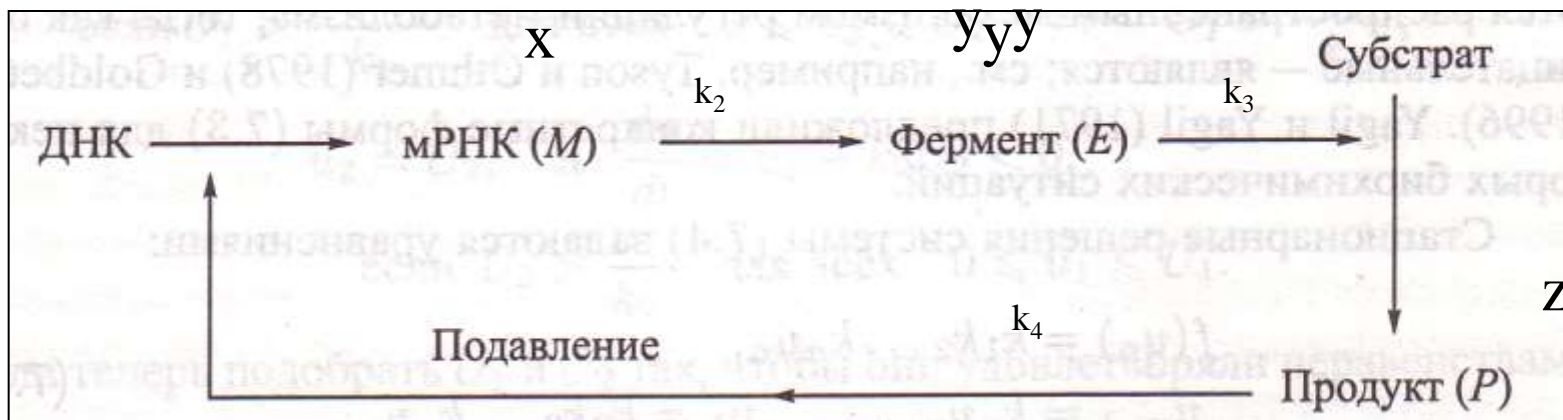
$$\frac{dy}{dt} = k_2 x - k_3 y$$

$$\frac{dz}{dt} = k_3 y - k_4 z$$

При  $n > 8$  – колебания

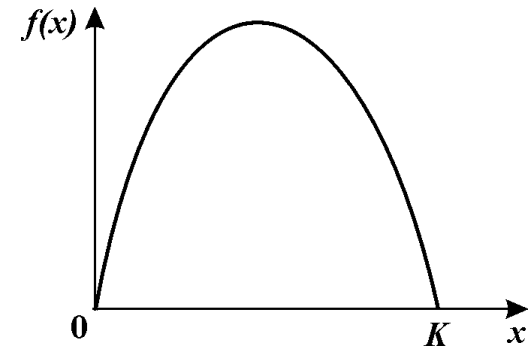


**Brian Carey Goodwin**  
(1931 – 2009 )  
Канадский биолог и  
биоматематик

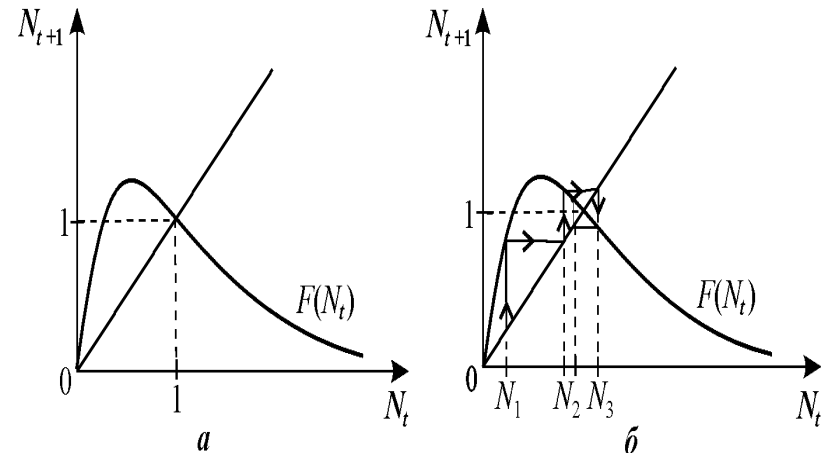


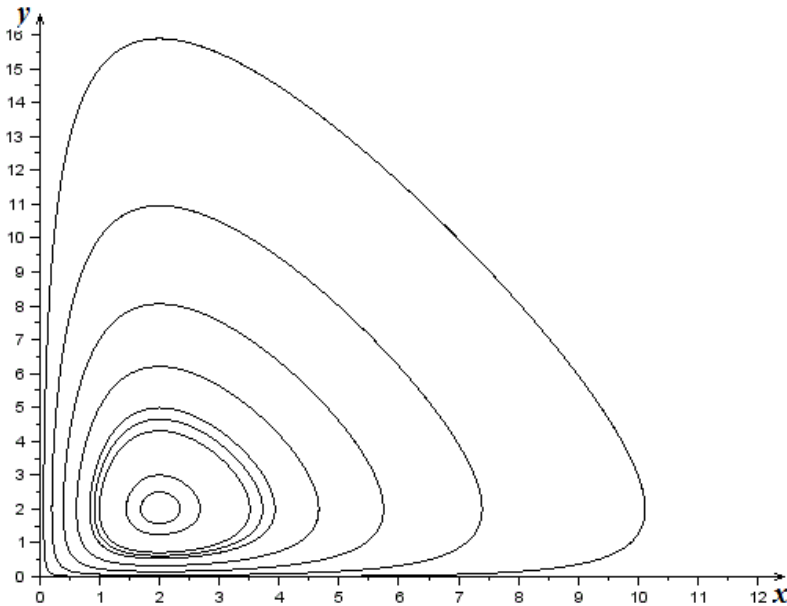
# Биологические системы – сочетание положительных и отрицательных обратных связей

$$\frac{dx}{dt} = rx\left(1 - \frac{x}{K}\right)$$



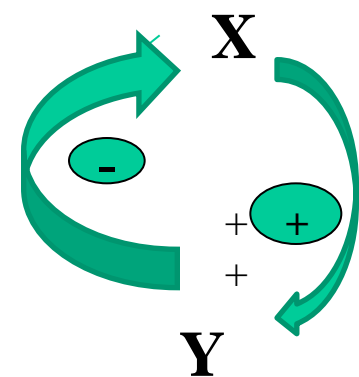
Автокаталитический член –  
положительная обратная связь  
Ферхюльстовский член –  
отрицательная обратная связь





## Модель Вольтерра

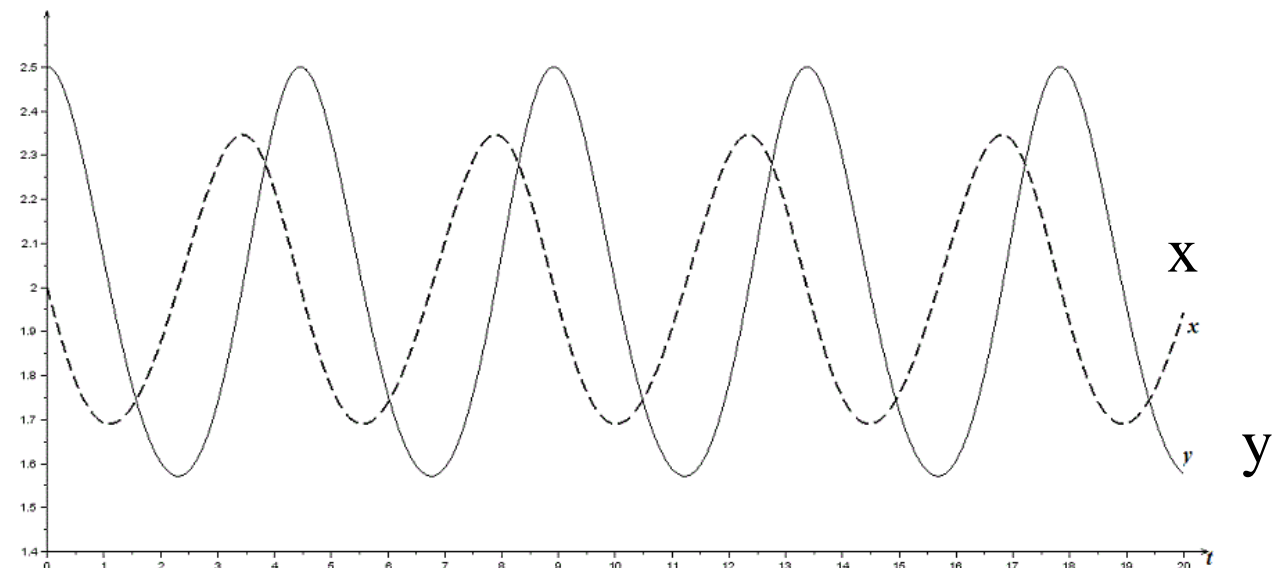
При  $x - \max$ , скорость  
**роста**  $y$   $dy/dt - \max -$



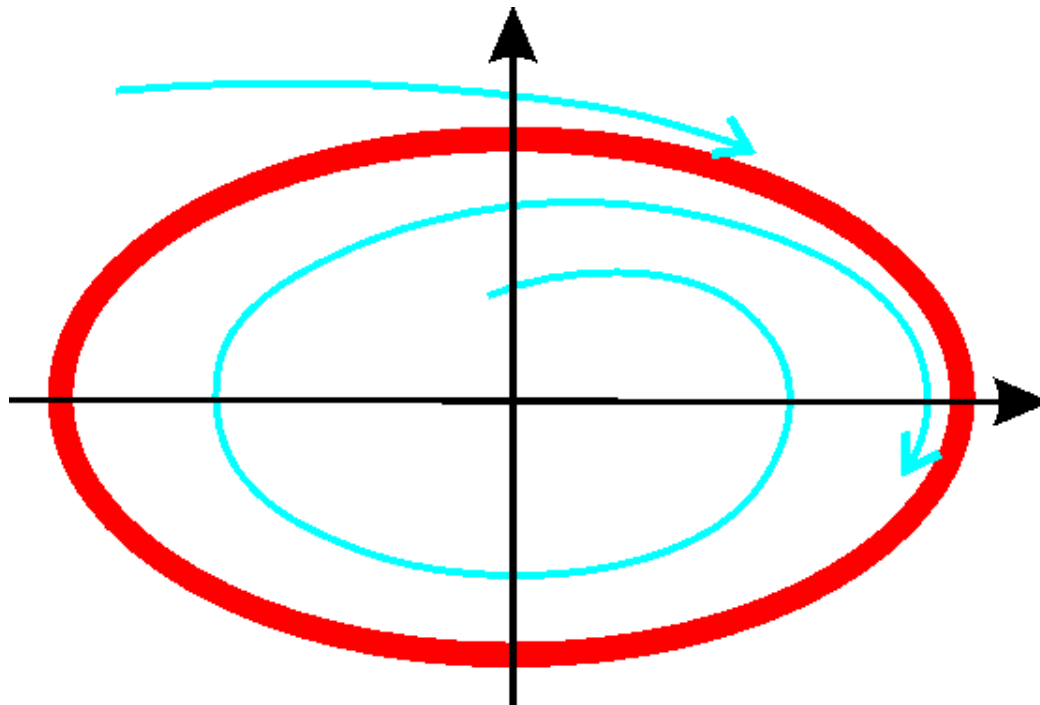
При  $y - \max$  – скорость  
**убыли**  $x$   $dx/dy - \max$

$$\begin{aligned}\frac{dx}{dt} &= ax - bxy \\ \frac{dy}{dt} &= cxy - dy\end{aligned}$$

$$\begin{aligned}a &= 1; b = 0.5; \\ c &= 1; d = 2\end{aligned}$$



# Предельный цикл



На фазовой плоскости автоколебания изображаются в виде замкнутой изолированной траектории – ПРЕДЕЛЬНОГО ЦИКЛА

# Пример 1

$$\frac{dx}{dt} = y + x[1 - (x^2 + y^2)],$$

$$\frac{dy}{dt} = -x + y[1 - (x^2 + y^2)],$$

Параметрические уравнения предельного цикла

$$x = \cos(t - t_1), \quad y = \sin(t - t_1),$$

Уравнения всех других фазовых траекторий

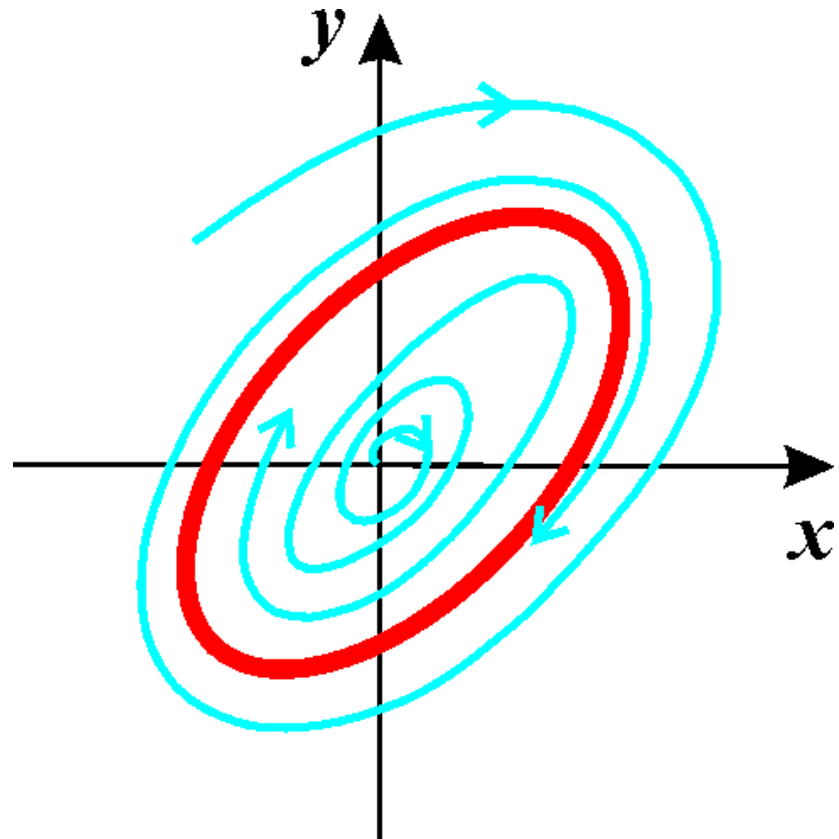
$$x = \frac{\cos(t - t_0)}{\sqrt{1 + C e^{-2(t-t_0)}}}, \quad y = \frac{\sin(t - t_0)}{\sqrt{1 + C e^{-2(t-t_0)}}}$$

При  $C > 0$  фазовые траектории накручиваются на предельный цикл изнутри

При  $-1 < C < 0$  фазовые траектории накручиваются на предельный цикл снаружи

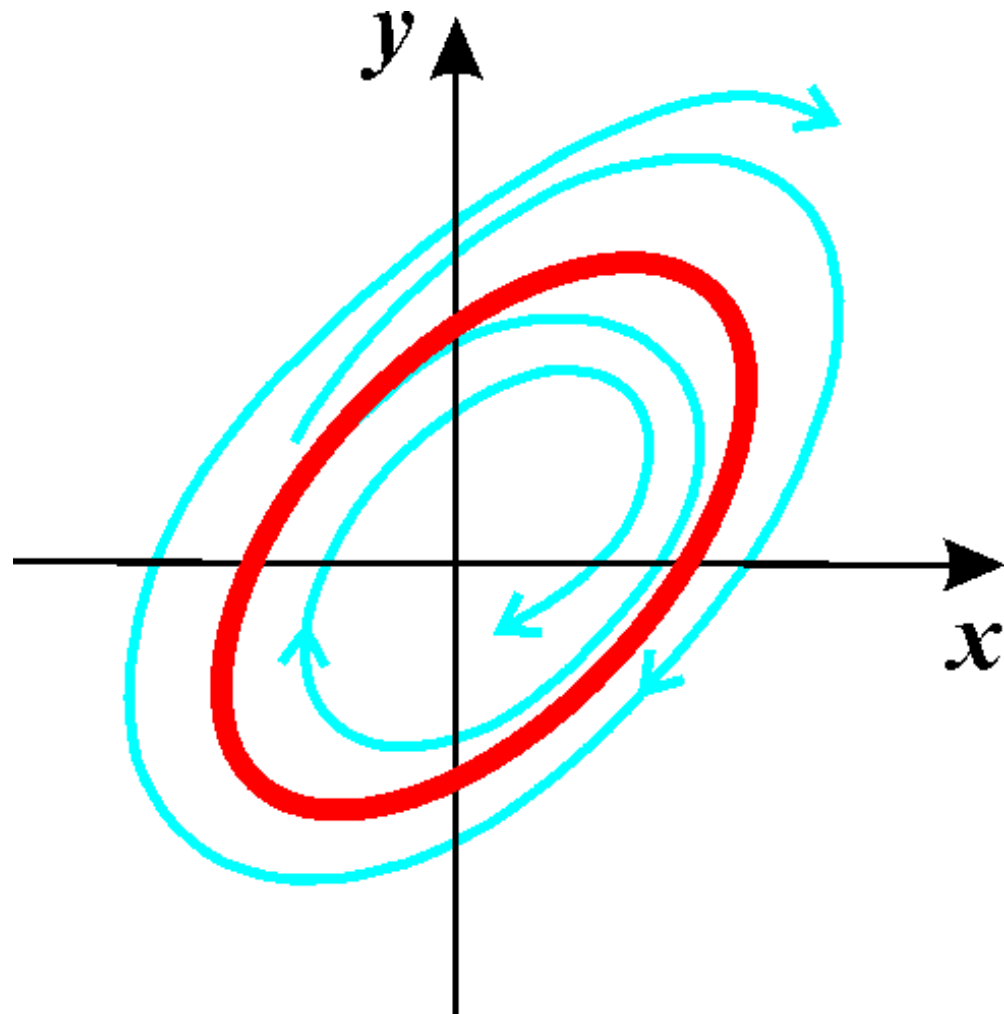
# Устойчивый предельный цикл

Предельный цикл называется устойчивым, если существует такая область на фазовой плоскости, содержащая этот предельный цикл, — окрестность  $\varepsilon$ , что все фазовые траектории, начинающиеся в окрестности  $\varepsilon$ , асимптотически при  $t \rightarrow \infty$  приближаются к предельному циклу.



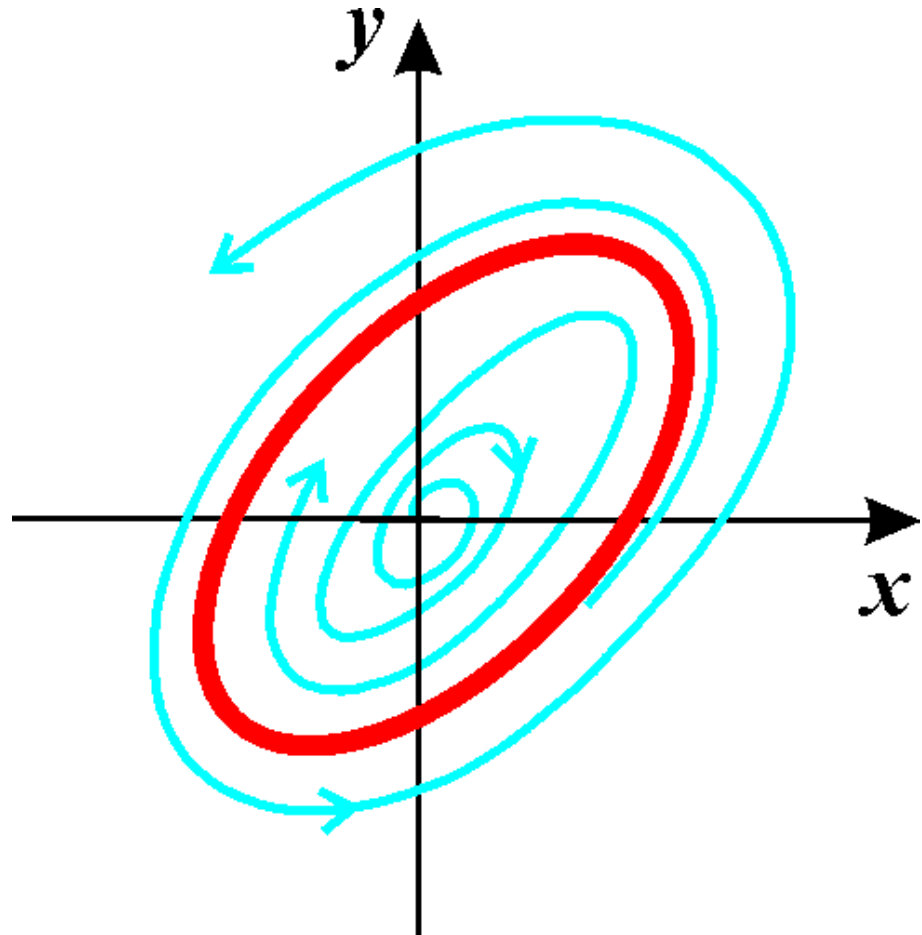
# Неустойчивый предельный цикл

Если же, наоборот, в любой сколь угодно малой окрестности  $\varepsilon$  предельного цикла существует по крайней мере одна фазовая траектория, не приближающаяся к предельному циклу при  $t \rightarrow \infty$ , то такой предельный цикл называется неустойчивым.



# Полуустойчивый предельный цикл

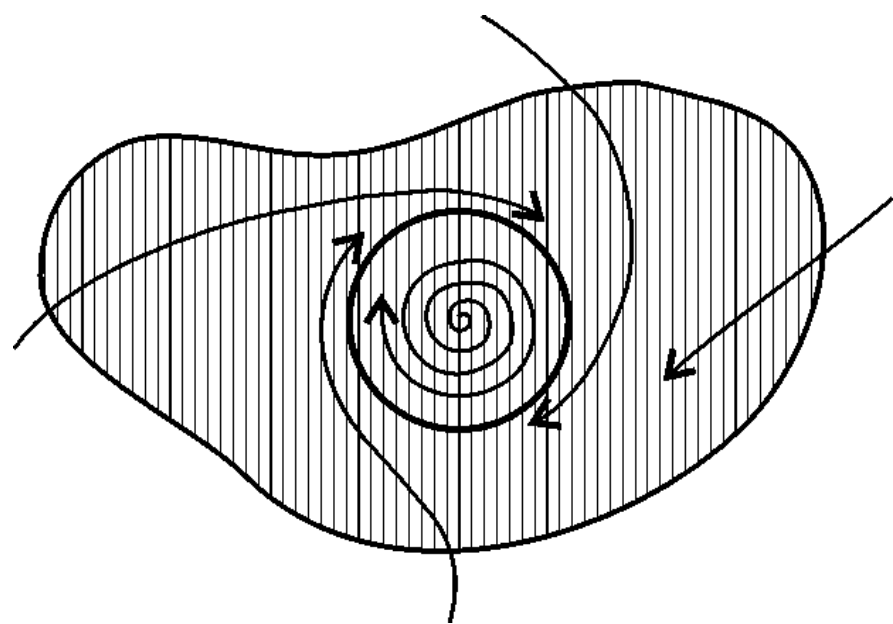
Такие циклы также называют двойными.  
При некотором значении параметра они расщепляются на два, один из которых устойчив, а другой - неустойчив



## Теоремы существования предельного цикла (1)

### Теорема 1

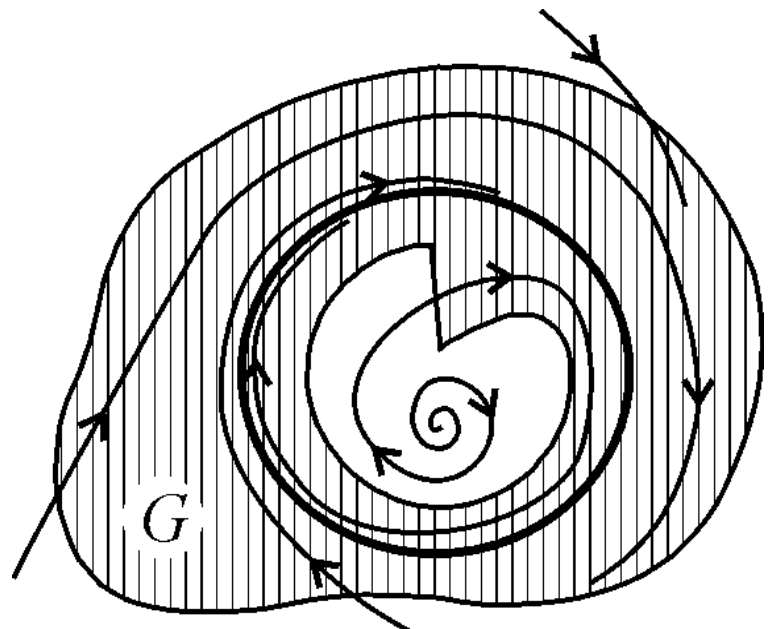
*Если существует на фазовой плоскости некоторая замкнутая область, такая, что все фазовые траектории, пересекающие границу этой области, входят в нее, и внутри этой области находится неустойчивая особая точка, отличная от седла, то в этой области обязательно имеется хотя бы один предельный цикл*



## Теоремы существования пределного цикла (2)

### Теорема 2

*Пусть на фазовой плоскости существует область, из которой фазовые траектории не выходят, и в которой нет положений равновесия (особых точек). Тогда в этой области обязательно существует предельный цикл, причем все остальные траектории обязательно наматываются на него.*

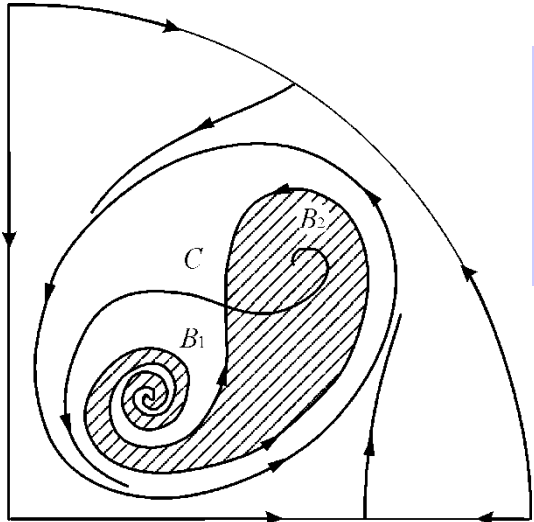


# Устойчивость предельного цикла

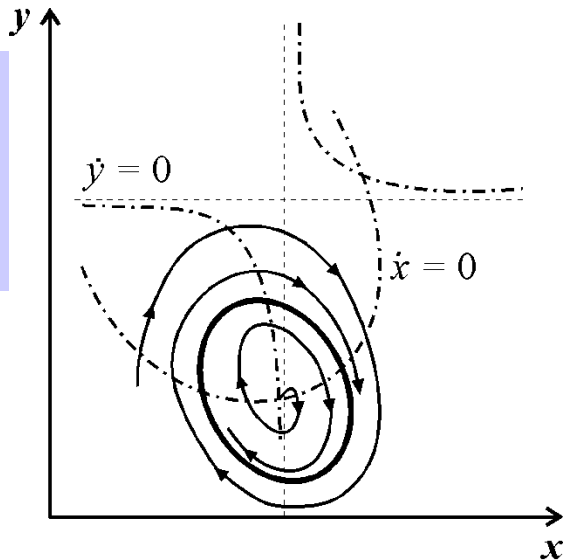
Предельный цикл устойчив, если  $h < 0$  и неустойчив, если  $h > 0$ . Если же  $h = 0$ , уравнения первого приближения не решают вопроса об устойчивости периодического движения.

$$h = \frac{1}{T} \int_0^T \{P'_x[\varphi(t), \psi(t)] + Q'_y[\varphi(t), \psi(t)]\} dt,$$

$x = \varphi(t)$ ,  $y = \psi(t)$  — любое периодическое решение, соответствующее рассматриваемому предельному циклу,  $T$  — период решения.

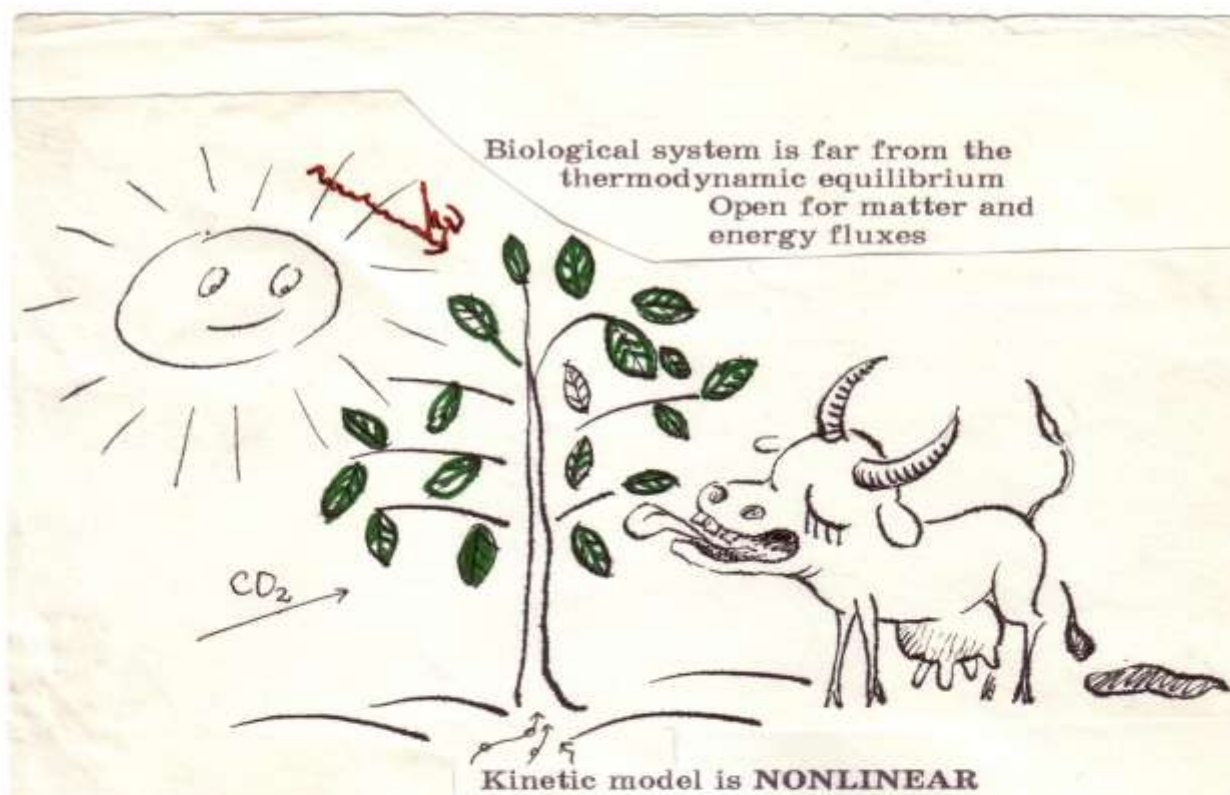


ВАЖНО



Предельные циклы возможны  
лишь в системе, правые части  
которой представлены  
нелинейными функциями.

ТОЛЬКО В  
НЕЛИНЕЙНЫХ  
СИСТЕМАХ  
БЫВАЮТ



*Only in **NONLINEAR SYSTEM***

SELFORGANIZATION IN TIME:

1. selfoscillation
2. multistability
3. quasystochastic regimes in deterministic systems

SELFORGANIZATION IN SPACE

1. autowaves
2. dissipative structures  
(nonequilibrium steady distributions)
3. stochastic in space regimes



# Рождение предельного цикла. Бифуркация Андронова- Хопфа

Андронов Александр  
Александрович (1901-1952)



Эберхáрд Фредерíк  
Фердинáнд Хóпф  
(1902-1983)

Бифуркация впервые была исследована А.А. Андроновым (1937) для случая  $N = 2$  и обобщена Е. Хопфом (1942) на системы с произвольной размерностью. (Андронов А.А., Витт А.А., Хайкин С.Э. Теория колебаний. М., Наука, 1981)

# Модельная система мягкого возбуждения автоколебаний

$$\frac{dr}{dt} = r(c - r^2),$$

$r$  и  $\phi$  - полярные  
координаты

$$\frac{d\phi}{dt} = 2\pi.$$

При увеличении параметра  $c$  при  $c = 0$  фокус теряет  
устойчивость и рождается предельный цикл

# Стационарные решения

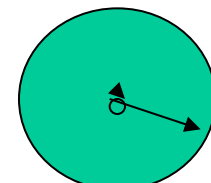
$$r(c - r^2) = 0.$$

1.  $\bar{r}_1 = 0$

2,3.  $c - \bar{r}^2 = 0 \quad \bar{r}_{2,3} = \pm\sqrt{c}$

Имеет реальный смысл

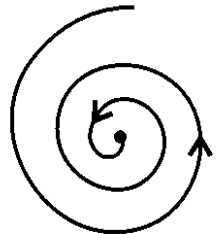
$$\bar{r}_2 = \sqrt{c}$$



Окружность радиуса с

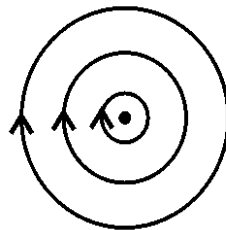
# Суперкритическая бифуркация Андронова-Хопфа (мягкое возбуждение)

Устойчивый фокус



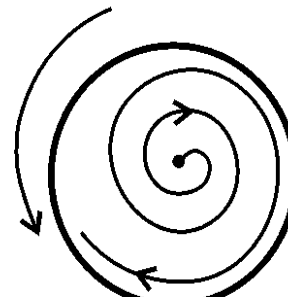
$$c < 0$$

Центр



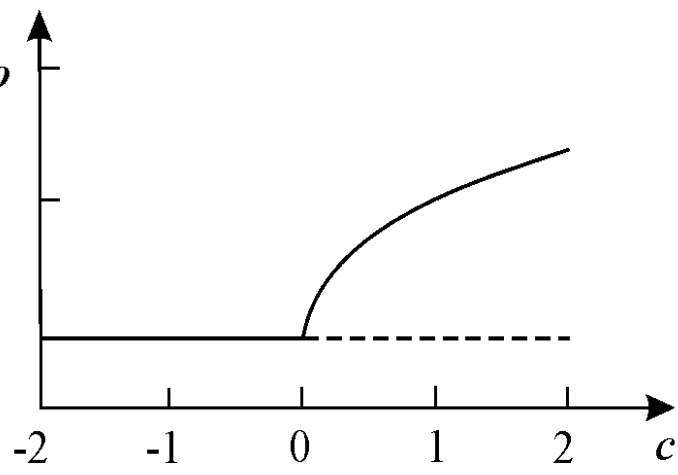
$$c = 0$$

Неустойчивый фокус +  
устойчивый предельный цикл



$$c > 0$$

радиус  
предельного  
цикла



$$\frac{dr}{dt} = r(c - r^2),$$

$$\frac{d\phi}{dt} = 2\pi.$$

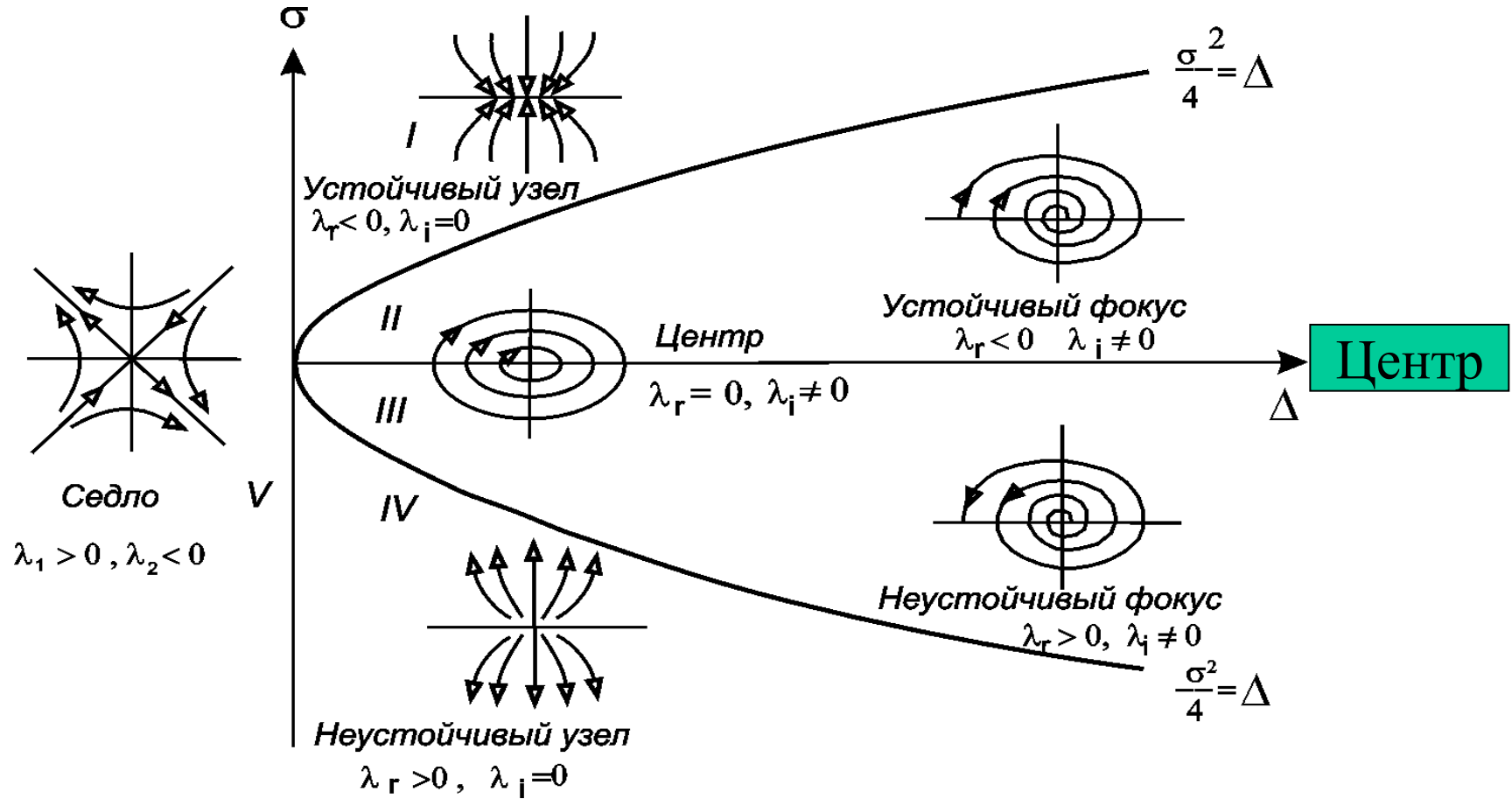
# Бифуркационная диаграмма линейной системы

$$\sigma = -(a+d); \Delta = \begin{vmatrix} a & b \\ c & d \end{vmatrix}$$

$$\lambda_{1,2} = \frac{-\sigma \pm \sqrt{\sigma^2 - 4\Delta}}{2}$$

$$\frac{d\xi}{dt} = a\xi + b\eta,$$

$$\frac{d\eta}{dt} = c\xi + d\eta.$$



# Модельная система жесткого возбуждения автоколебаний

$$\frac{dr}{dt} = r\left(\frac{c}{4} + r^2 - r^4\right), \quad r = 0,$$
$$\frac{d\phi}{dt} = 2\pi.$$
$$r^2 = \frac{1}{2} \left[ 1 \pm (1+c)^{1/2} \right].$$

При  $c = -1$  рождается неустойчивый предельный цикл малой амплитуды и устойчивый предельный цикл конечной амплитуды

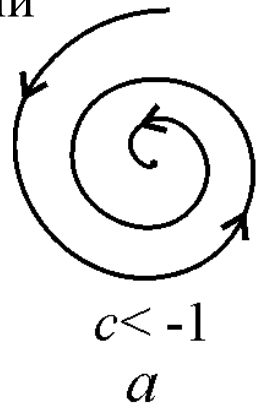
При  $c > -1$  второе стационарное решение – устойчивый предельный цикл. При  $-1 < c < 0$  три стационарных решения, добавляется – неустойчивый предельный цикл с амплитудой

$$r^2 = \frac{1}{2} \left[ 1 - (1+c)^{1/2} \right].$$

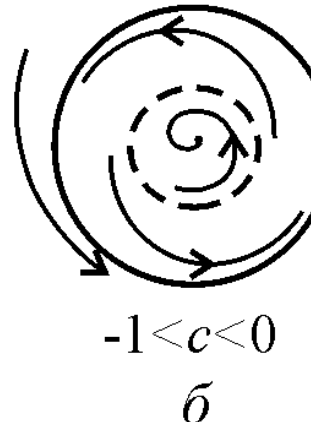
При  $c > 0$  неустойчивый предельный цикл пропадает

# Субкритическая бифуркация Андронова – Хопфа

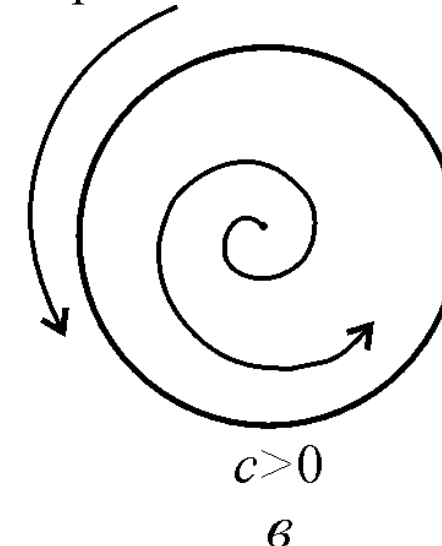
Устойчивый  
фокус



Устойчивый фокус,  
неустойчивый  
пределный цикл,  
устойчивый  
пределный цикл



Неустойчивый фокус,  
устойчивый  
пределный цикл



$$\frac{dr}{dt} = r\left(\frac{c}{4} + r^2 - r^4\right),$$

$$r^2 = 1 \pm (1 + c)^{1/2}.$$



Ветвь  $r = 0$   
устойчива при  
 $c < 0$  и  
неустойчива  
при  $c > 0$ .



# Брюсселятор

И. Пригожин, Р. Лефевр (1965)

1917-2003

Простейшая реализация кубической  
нелинейности в химической реакции



(тристадиолекулярная реакция)

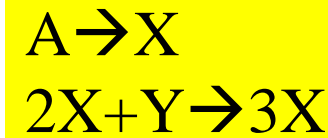
# Схема реакций Брюсселятора (тритомолекулярная реакция



# Система уравнений

Если конечные продукты  $C$  и  $R$  удаляются из реакционного пространства, а субстрат  $A$  находится в избытке,  $k_{-1} = k_{-3} = k_{-4} = 0$ . Пусть также  $k_{-2} = 0$ . Значения остальных констант положим равными единице.

$$\frac{dx}{dt} = A + X^2 Y - (B + 1)X$$

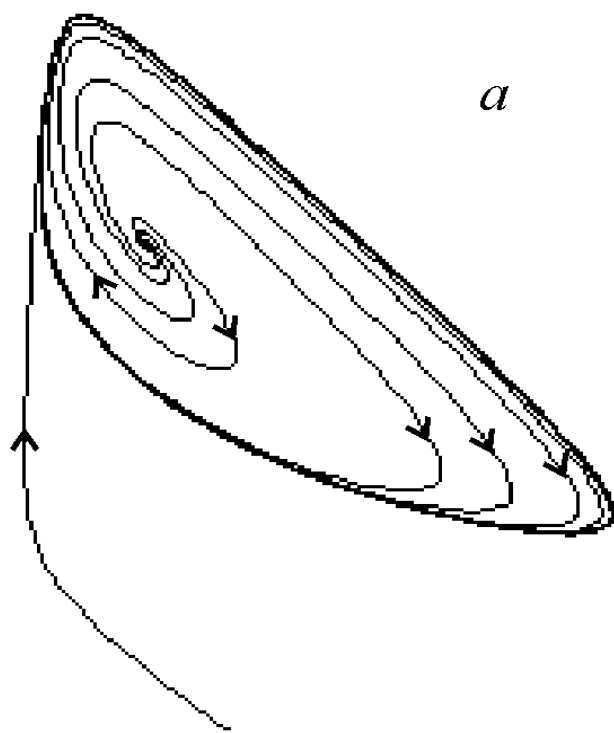


$$\frac{dy}{dt} = BX - X^2 Y.$$

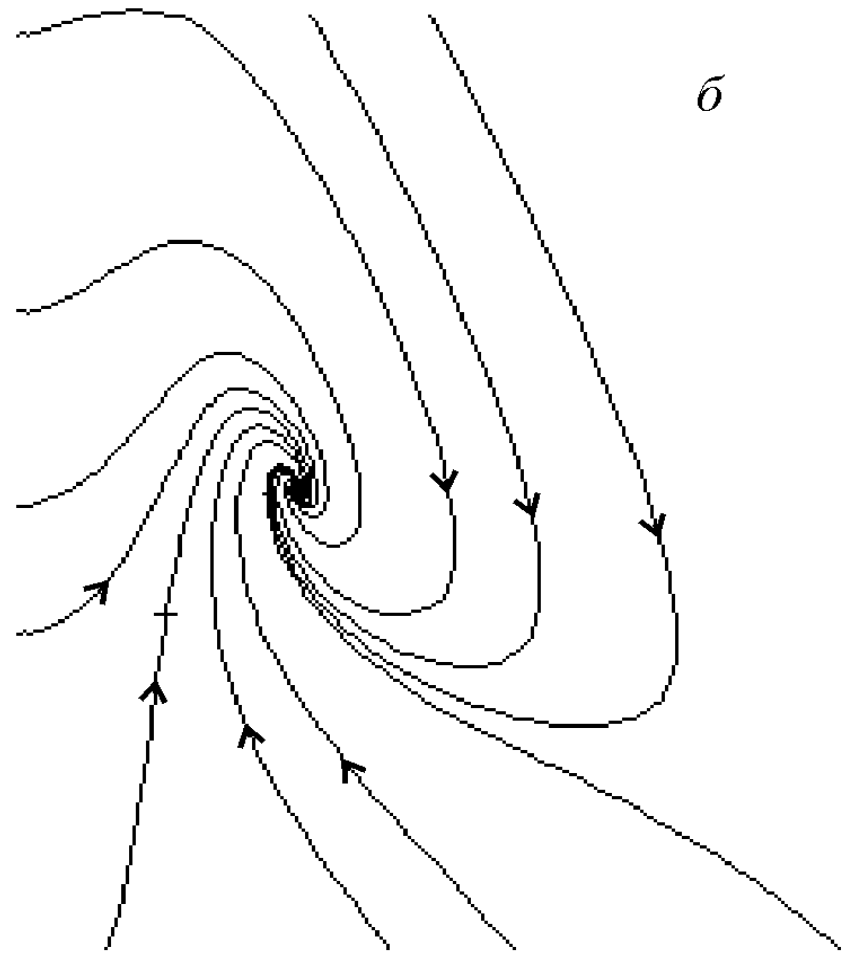


$$\bar{X} = A, \quad \bar{Y} = \frac{B}{A}.$$

# Брюсселятор

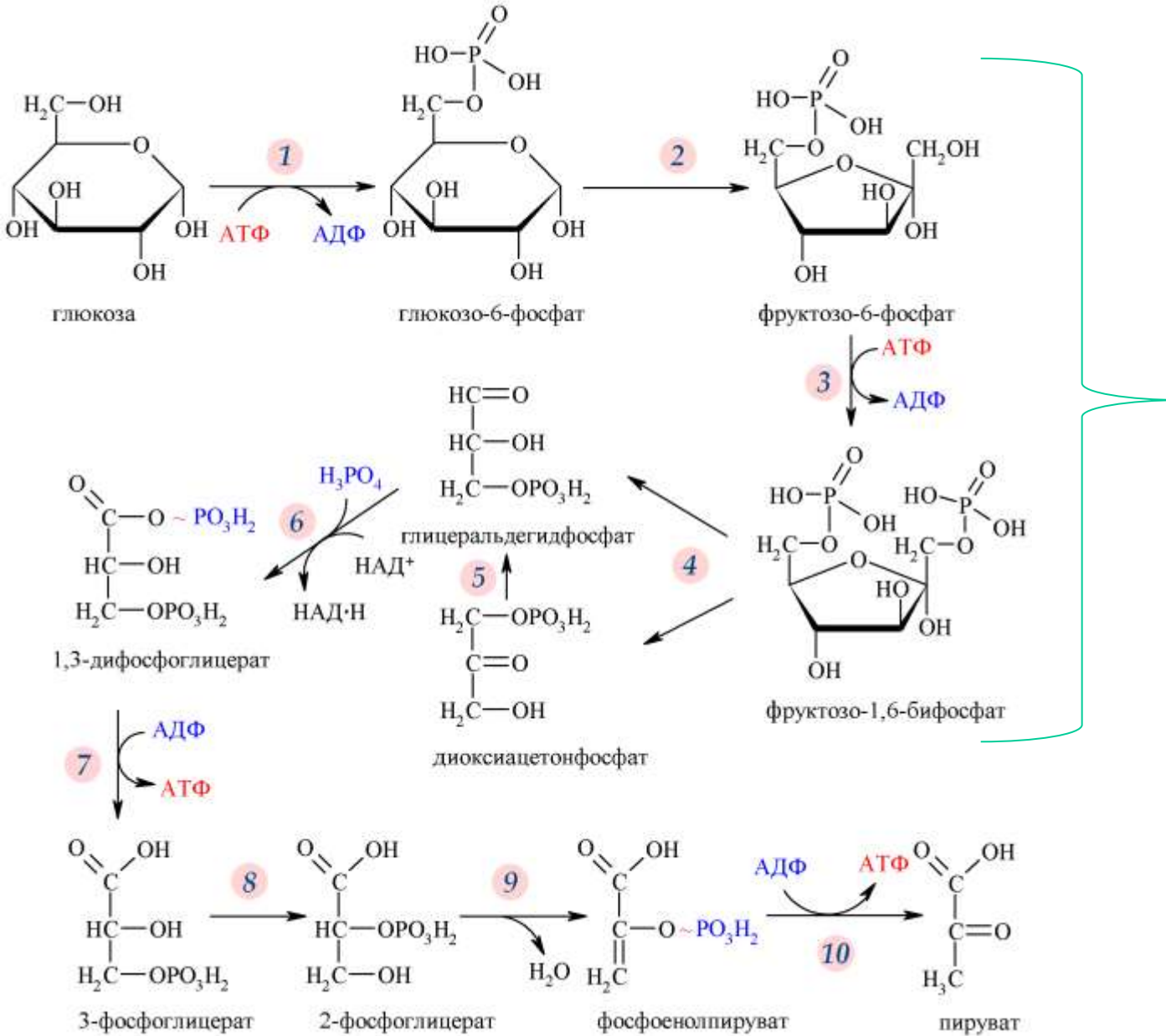


*a*



*б*

Фазовый портрет системы брюсселятор при  $B>1+A^2$  (*а*) и  $B<1+A^2$  (*б*).

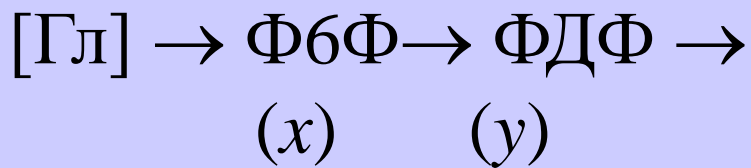


# ГЛИКОЛИЗ - ЛИЗИС (расщепление) ГЛЮКОЗЫ

Глюкоза + 2NAD<sup>+</sup> + 2ADP + 2Pi → 2 пируват + 2NADH + 2H<sup>+</sup> + 2ATФ + 2H<sub>2</sub>O<sup>[2]</sup>.

# Колебания в гликолизе

*Активация*  
↓



$$\frac{dx}{dt} = k - \chi \frac{x}{(K_{mx} + x)} \frac{y}{(K_{my} + y)}$$

$$\frac{dy}{dt} = \chi \frac{x}{(K_{mx} + x)} \frac{y}{(K_{my} + y)} - q \frac{y}{(K'_{my} + y)}$$

# Безразмерные уравнения гликолиза

$$\frac{dx}{dt} = 1 - xy,$$

$$\frac{dy}{dt} = \alpha y \left( x - \frac{1+r}{1+ry} \right),$$

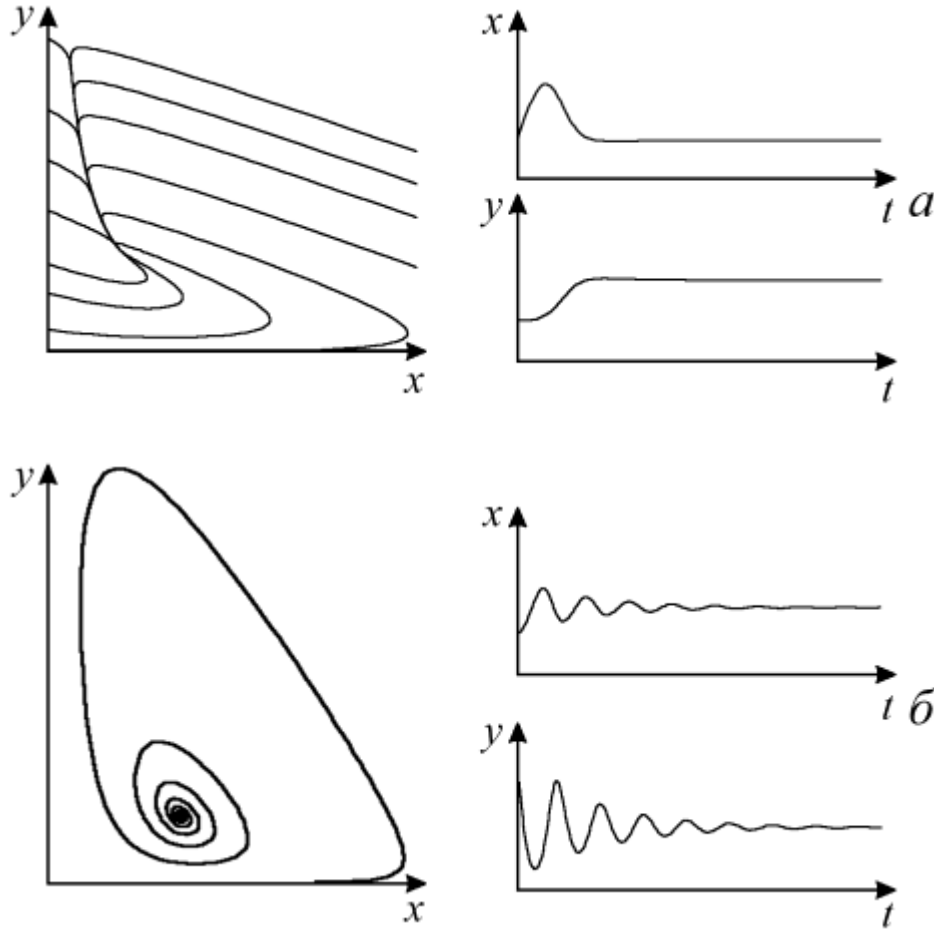
Ф6Ф

ФДФ

$$\alpha = \frac{(q-k)^2 K_{mz} K_{my}}{(K'_{my})^2 k \chi}, \quad r = \frac{k}{q+k}.$$

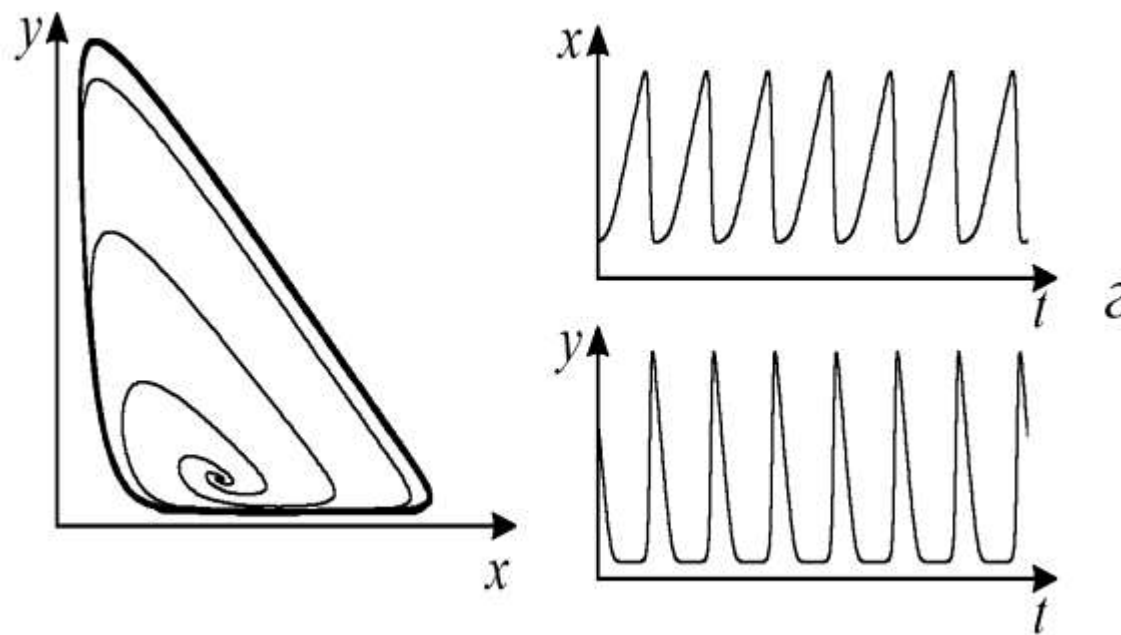
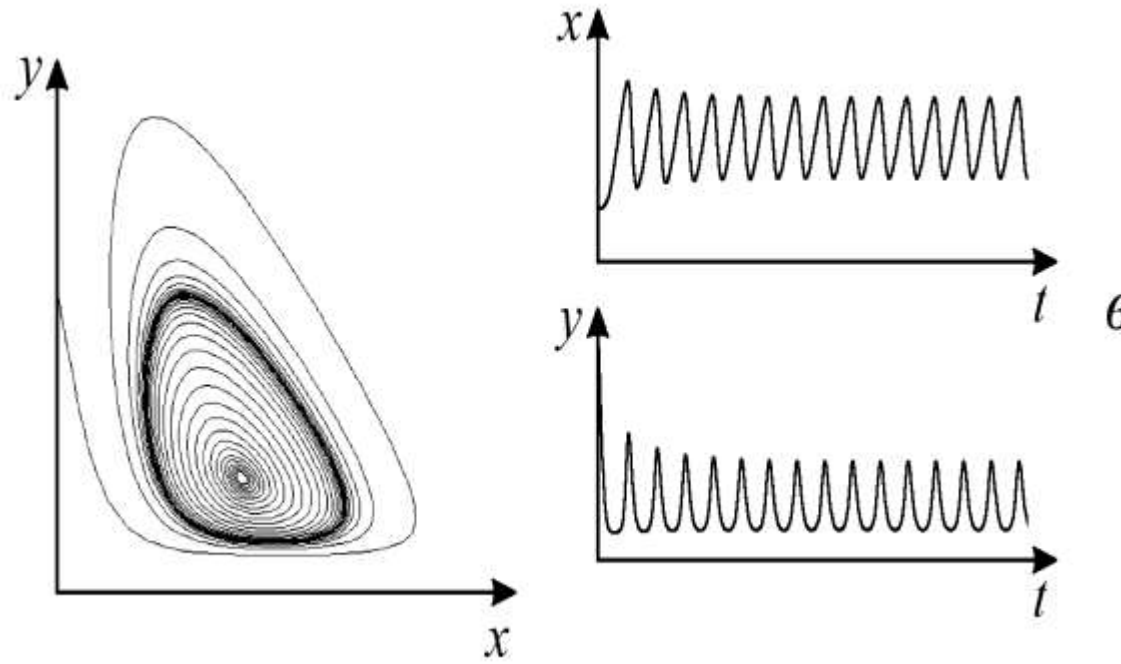
# Фазовые портреты и кинетика

## Устойчивые узел и фокус



Модель гликолиза (8.10). Кинетика изменений концентраций фруктозо-6-фосфата ( $x$ ) и фруктозодифосфата ( $y$ ) (справа) и фазовый портрет системы (слева) при разных значениях параметров системы,  $a$  – бесколебательный процесс (узел на фазовой плоскости),  $\alpha = 0.25; r = 1$ .  $\beta$  – затухающие колебания (устойчивый фокус на фазовой плоскости),  $\alpha = 0.25; r = 0.2$ .

## Предельные циклы в гликолизе

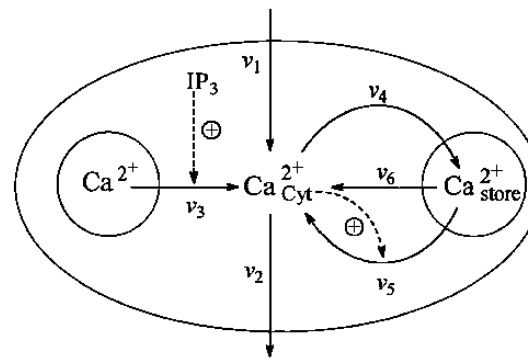


$\omega$  – колебания с постоянной амплитудой и фазой (предельный цикл на фазовой плоскости),  
 $\alpha = 6; r = 0.24.$   $\varphi$  – релаксационные колебания с постоянной амплитудой и фазой (предельный цикл почти треугольной формы на фазовой плоскости),  
 $\alpha = 8; r = 0.5.$

# Колебания Кальция в клетках млекопитающих

Клетка	Стимул	Время между осцилляциями, с	Метод регистрации	Литературный источник
Ацинарные клетки околоушной железы	Карбахолин	5	Фура-2	Gray 1988
Гонадотропные клетки гипофиза	Гонадолиберин	6	"	Shangold ea 1988
Бета клетки поджелудочной железы	Карбахолин	12-25	"	Prentki ea 1988
Гладкомышечные клетки	Фенилэфрин, гистамин	30-48	"	Ambler ea 1988
Фибробласты (REF52)	Вазопрессин + грамицидин	35-100	"	Harootunian ea
Эндотелиальные клетки	Гистамин	40-125	"	Jacob ea 1988
Гепатоциты	Вазопрессин, фенилэфрин, ангиотензин II	18-240	Акворин	Woods ea 1986 Woods ea 1987
Кардиомиоциты	Кофеин	0,3-3	Сокращение	Kort ea 1985
Симпатические нейроны	"	120	Ток K+	Kuba ea 1976
Симпатические нейроны	Деполяризация и кофеин	60-120	Фура-2	Lipscombe ea 1988
Яйцеклетки хомячка	Оплодотворение	55	Акворин	Miysaki ea 1986
Ооциты мыши	Форболовый эфир	17-35	"	Cuthbertson, Cobbold 1985
B-лимфоциты	Антиген	50-75	Фура-2	Wilson ea 1987
Макрофаги	Распластывание	19-69	"	Kruskal, Maxfield 1987
Яйцеклетка хомячка	Тимеросал	300	Ток K+	Swann 1991
Гепатоциты	Желчная кислота	5-12 (1 тип)	"	Capiod ea 1991a
"	ЦАМФ	60-240 (2 тип)	"	Capiod ea 1991b

# Система уравнений для колебаний кальция



[Dupont and Goldbetter (1989, 1994)]. Рассматриваются приток и отток кальция в клетку через плазматическую мембрану (константы скоростей  $v_1$  и  $v_2$ , соответственно); гормонально активируемое освобождение кальция из пула (скорость  $v_3$ ); активный транспорт цитозольного кальция в пул, ( $v_4$ ), освобождение кальция из пула, активируемое цитозольным кальцием ( $v_5$ ); свободный отток кальция из пула в цитозоль ( $v_6$ ). Модель состоит из двух дифференциальных уравнений

$S_1$  – концентрация Са в цитозоле;  $S_2$  – в гормонально чувствительном пуле

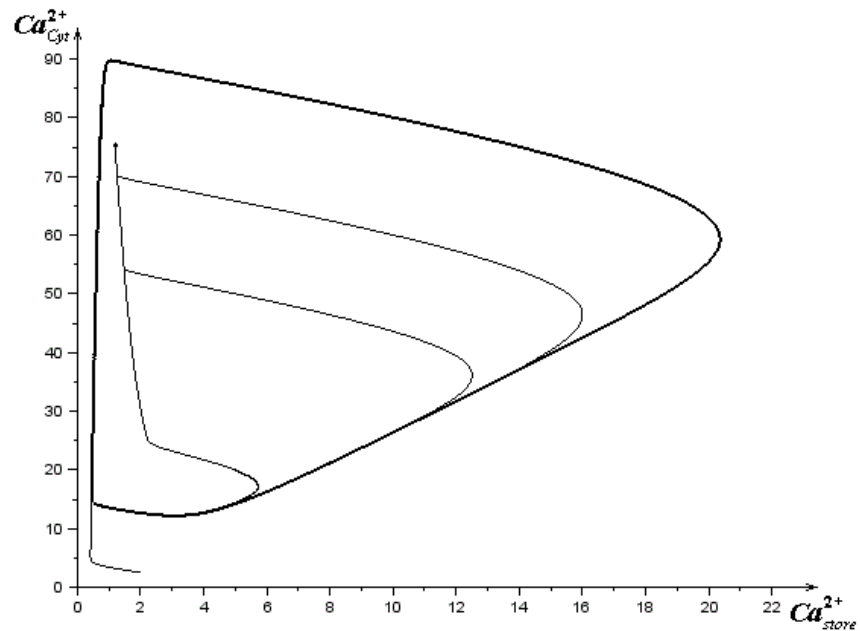
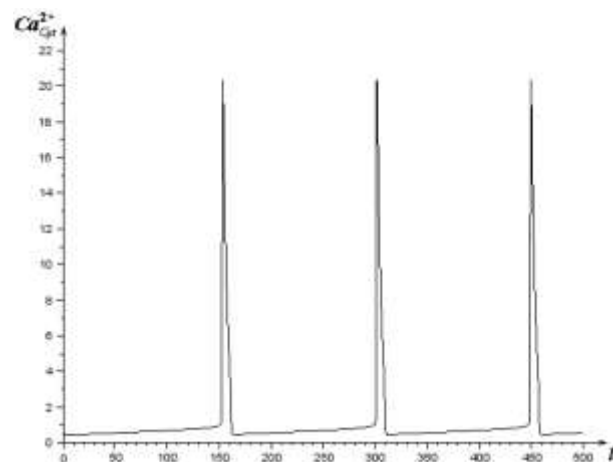
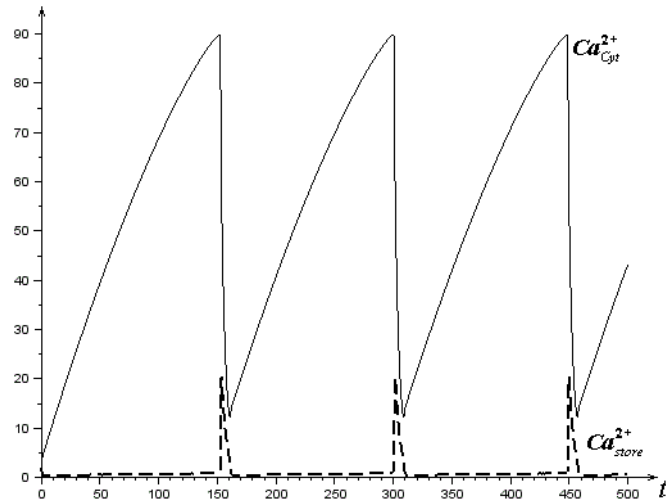
Выражения для скоростей:

$$\frac{dS_1}{dt} = v_1 - v_2 + v_3 - v_4 + v_5 + v_6 \quad v_2 = k_2 S_1; v_4 = k_4 S_1;$$

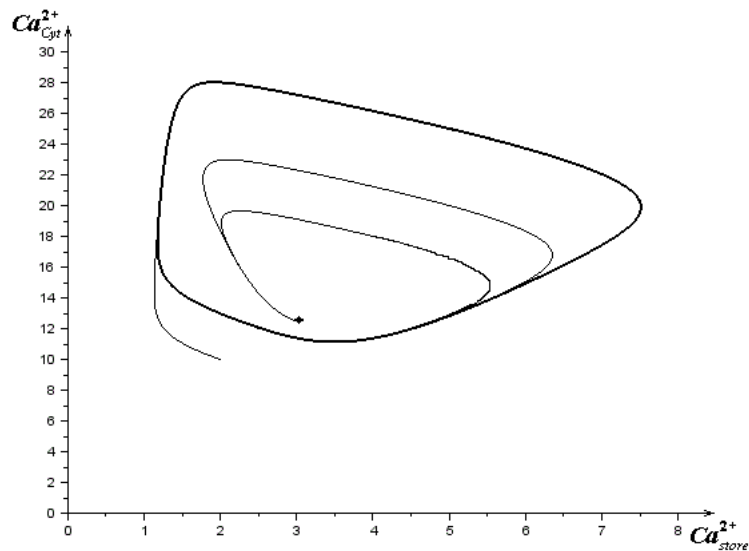
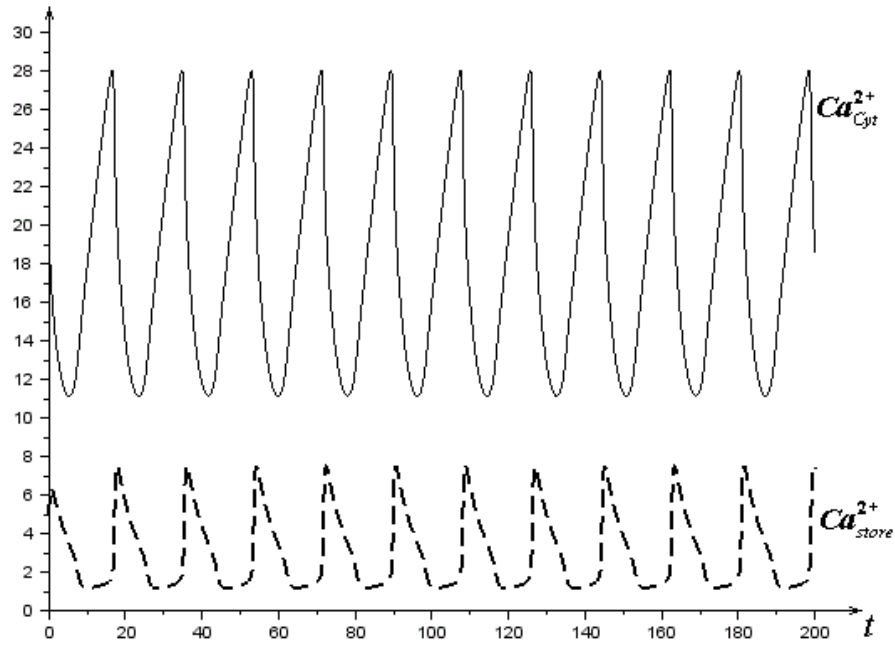
$$\frac{dS_2}{dt} = v_4 - v_5 - v_6 \quad v_5 = \frac{k_5 S_2 S_1^{nH}}{K_{0..5}^{nH} + S_1^{nH}}; v_6 = k_6 S_2$$

Kinetics the oscillations of  $\text{Ca}^{2+}$  in cytosol and in the store according to the model. Values of parameters: ;  $k_2 = 1$ ;  $k_4 = 2$ ;  $k_5 = 1$ ;  $k_6 = 0.01$ ;  $nH = 4$ ;  $K_{0.5} = 3.1$

Приток Ca       $v_1 = 1.2$



При большей скорости притока колебания приближаются к гармоническим



$$\nu_1 = 3$$

# Вопросы

- Какие колебательные процессы присутствуют в системе, которую Вы изучаете (хотели бы изучать)
- Эти колебания собственные или вынужденные?
- Если собственные. Где в Вашей системе обратная связь?
- Приведите пример колебательной системы, где важную роль играет запаздывание

- Внутриклеточные процессы (секунды-минуты)
- Жизненный цикл клетки (часы и более)
- Циклы клеточной популяции (часы, дни и более)